

2.4 Théorème de Van Kampen.

2.4.1 Présentation d'un groupe par générateurs et relations

• Soit Σ un ensemble. Le groupe libre $L(\Sigma)$ engendré par Σ est

l'ensemble des mots $z_1^{a_1} \cdots z_m^{a_m}$, où $\begin{cases} m > 0 \\ z_i \in \Sigma \\ a_i \in \mathbb{Z} \setminus \{0\} \\ z_i \neq z_{i+1} \end{cases}$,

suivi de la \emptyset donnée par la concaténation des mots et réflexion des mots

$$z_i^{a_i} z_j^{b_j} \text{ en } \begin{cases} z_i^{a+b} & (a+b \neq 0) \\ \emptyset & (a+b=0) \end{cases}$$

ex: Dans $L(\{z\})$, $z^3 z^{-2} z^4 z^{-4} z^3 z^{-1} = z^3 z^{-1}$.

Si G est un groupe et $\varphi: \Sigma \rightarrow G$ une application, alors il existe un unique morphisme de groupes $\bar{\varphi}: L(\Sigma) \rightarrow G$ tel que $\bar{\varphi}(z) = \varphi(z)$.

Il est donné par $\bar{\varphi}(z_1^{a_1} \cdots z_m^{a_m}) = \varphi(z_1)^{a_1} \cdots \varphi(z_m)^{a_m}$.

• Soit Σ un ensemble et $R \subseteq L(\Sigma)$ un sous-ensemble. Le groupe défini par les générateurs Σ et les relations R est le groupe

$$L(\Sigma, R) := L(\Sigma) / \langle \langle R \rangle \rangle$$

où $\langle \langle R \rangle \rangle$ est le plus petit sous-groupe normal contenant R .

Si G est un groupe et $\varphi: \Sigma \rightarrow G$ une application telle que $\bar{\varphi}(R) = 1_G$, alors $\bar{\varphi}$ porte au quotient en un morphisme $L(\Sigma, R) \rightarrow G$.

Si G est un groupe, une présentation de G est un isomorphe $G \cong L(\Sigma, R)$ pour Σ et R bien choisis.

On dit que G est de type fini si on peut choisir Σ fini
de présentation finie si on peut choisir Σ et R finis.

ex: $\langle \varepsilon | \phi \rangle = L(\varepsilon)$

$$\langle a | a^n \rangle = \mathbb{Z}/n\mathbb{Z}$$

$$\langle a, b | aba^{-1}b^{-1} \rangle = \mathbb{Z}^2$$

- Soient H, G_1, G_2 trois groupes et $i_1: H \rightarrow G_1, i_2: H \rightarrow G_2$ des morphismes de groupes. On définit alors le produit amalgamé de G_1 et G_2 au-dessus de H

$$G_1 *_H G_2 = L(\Sigma, R) \quad \text{avec} \quad \Sigma = G_1 \sqcup G_2$$

et R l'ensemble des relations de la forme:

$$\begin{cases} g \cdot g' \cdot (g g')^{-1} & , g, g' \in G_1 \text{ ou } g, g' \in G_2 \\ i_1(h) i_2(h)^{-1} & , h \in H \end{cases}$$

Ces relations montrent que les applications naturelles $\begin{cases} \alpha_1: G_1 \rightarrow G_1 *_H G_2 \\ \alpha_2: G_2 \rightarrow G_1 *_H G_2 \end{cases}$

sont des morphismes de groupes et $\alpha_1 \circ \alpha_2 = \alpha_2 \circ \alpha_1$.

ex: Si $H = \{e\}$, on note $G_1 *_H G_2 = G_1 *_{\{e\}} G_2$ le produit libre de G_1 et G_2 .

Prop (propriété universelle) :

(c) Soit G un groupe, $b_1: G_1 \rightarrow G$, $b_2: G_2 \rightarrow G$ des morphismes de groupes tels que $b_1 \circ c_i = b_2 \circ c_i$, alors il existe un unique morphisme de groupe $\Psi: G_1 *_{\mathbb{H}} G_2 \rightarrow G$ tel que

$$b_i(g) = \Psi(c_i(g)) \quad (\text{pour } i \in \{1, 2\} \text{ et } g \in G_i).$$

$$\begin{array}{ccc} H & \xrightarrow{i_1} & G_1 \\ i_2 \downarrow & & \downarrow a_1 \\ G_2 & \xrightarrow{a_2} & G_1 *_{\mathbb{H}} G_2 \\ & & \searrow \varphi \\ & & G \end{array}$$

Diagram illustrating the universal property of the free product $G_1 *_{\mathbb{H}} G_2$. The top row shows H mapping to G_1 via i_1 and to G_2 via i_2 . The bottom row shows G_2 mapping to $G_1 *_{\mathbb{H}} G_2$ via a_2 . A green arrow labeled b_1 goes from G_1 to G , and another green arrow labeled b_2 goes from G_2 to G . A red dashed arrow labeled φ points from $G_1 *_{\mathbb{H}} G_2$ to G .

(ii) : la propriété (i) caractérise $(G_1 *_{\mathbb{H}} G_2, c_1, c_2)$ au sens où si (P, a'_1, a'_2) est un groupe muni de morphismes $a'_1: G_1 \rightarrow P$, $a'_2: G_2 \rightarrow P$ avec $a'_1 \circ c_1 = a'_2 \circ c_2$ tel que (i) soit vérifié
 (et en particulier $(G_1 *_{\mathbb{H}} G_2, c_1, c_2)$ pour (P, a'_1, a'_2))

alors il existe un unique isomorphisme $G_1 *_{\mathbb{H}} G_2 \xrightarrow{\sim} P$ avec $\forall a_i = a'_i, i \in \{1, 2\}$.

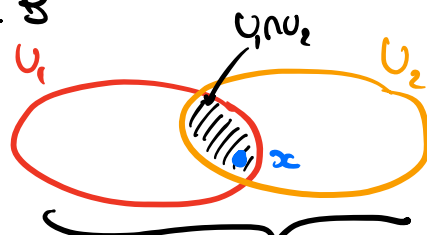
Preuve: (i) Cela suit des chaines des génératrices et des relations.

(ii) On utilise \cup en appliquant la propriété universelle de $G_1 *_{\mathbb{H}} G_2$ à $G = \Sigma$, et l' inverse de \cup en appliquant la propriété universelle de P à $G = G_1 *_{\mathbb{H}} G_2$.

2.4.2 Le théorème de Van Kampen

Th (Van Kampen): Soit B connexe et localement convexe par arcs. Soient $U_1, U_2 \subseteq B$ des ensembles tels que $\begin{cases} U_1, U_2 \text{ et } U_1 \cap U_2 \text{ sont convexes} \\ U_1 \cup U_2 = B \end{cases}$. Soit $x \in U_1 \cap U_2$.

$$\text{Alors } \pi_1(B, x) = \pi_1(U_1, x) * \frac{\pi_1(U_2, x)}{\pi_1(U_1 \cap U_2, x)}.$$



Démonstration (seulement dans le cas où U_1, U_2 et $U_1 \cap U_2$ sont semi-localement simplement connexes, par ex les contractiles.)

Montrons que $\pi_1(B, x)$ vérifie la propriété universelle du produit amalgamé. Soit G un groupe et $\begin{cases} b_1: \pi_1(U_1, x) \rightarrow G \text{ des morphismes} \\ b_2: \pi_1(U_2, x) \rightarrow G \end{cases}$ coïncidant sur $\pi_1(U_1 \cap U_2, x)$.

On veut montrer l'existence d'un unique $\varphi: \pi_1(B, x) \rightarrow G$ couple.

Unicité: Il suffit de montrer que $\pi_1(U_1, x)$ et $\pi_1(U_2, x)$ engendrent $\pi_1(B, x)$.

Pour cela, soit $\gamma: [0, 1] \rightarrow B$ loc. lisse en x .

Pour capacité de $[0, 1]$, il existe n tel que $\gamma\left(\left[\frac{k}{n}, \frac{k+1}{n}\right]\right)$ est inclus dans $U_{f(k)}$ pour tout une fonction $f: \{0, \dots, n-1\} \rightarrow \{1, 2\}$.

Poser $\beta_k: [0, 1] \rightarrow U_{f(k)}$ et soit $\alpha_k: [0, 1] \rightarrow U_{f(k)} \cap U_{f(k+1)}$

$$t \mapsto \gamma\left(\frac{kt+k}{n}\right)$$

un chemin de x à $\gamma\left(\frac{k}{n}\right)$. Alors $\gamma = \beta_0 \cdots \beta_{n-1}$ est homotope à $(\overline{\beta_0 x_1}) \cdot (\alpha_1 \overline{\beta_1 x_2}) \cdot \cdots \cdot (\alpha_{n-2} \overline{\beta_{n-2} x_{n-1}}) \cdot (\alpha_{n-1} \overline{\beta_{n-1}})$,

et chaque facteur α_i une clôture dans $\pi_1(U_1, x)$ ou $\pi_1(U_2, x)$.

Existence :

Pour $i \in \{1, 2\}$, faisons agir $\pi_1(U_i, x)$ à droite sur G via $\gamma \cdot g = g \cdot b_i(\gamma)$.

Soit $p_i: V_i \rightarrow U_i$ le revêtement associé à ce $\pi_1(U_i, x)$ -ensemble.

Car b_1 et b_2 coïncident sur $\pi_1(U, \cap U_2, x)$, les $\pi_1(U, \cap U_2, x)$ -ensembles

obtenus par restriction sont isomorphes, donc les revêtements $p_1|_{p_1^{-1}(U, \cap U_2)}$ et

$p_2|_{p_2^{-1}(U, \cap U_2)}$ de $U, \cap U_2$ sont isomorphes.

Recolleons p_1 et p_2 à l'aide d'un tel isomorphisme, on obtient un
revêtement $p: V \rightarrow B$. Ce revêtement correspond à un $\pi_1(B, x)$ -ensemble,
i.e. à une action de $\pi_1(B, x)$ à droite sur $G = p^{-1}(x)$, qui se traduit
en les actions de $\pi_1(U_i, x)$ définies ci-dessus.

On définit $\psi: \pi_1(B, x) \longrightarrow G$.

$$\gamma \longmapsto \gamma \cdot e$$

l'identité de G .

ψ se restreint bien en b_1 et b_2 .

On vérifie que c'est un morphisme de groupes en se rappelant que $\pi_1(B, x)$ est engendré par le $\pi_1(U_i, x)$ et en écrivant, pour $\gamma = \gamma_1 \cdots \gamma_s$:

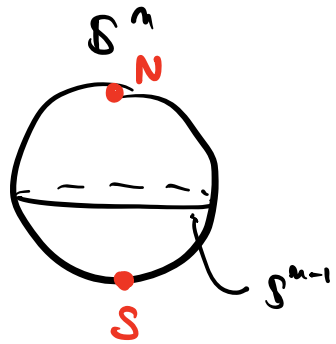
$$(\gamma_i \cdot e, (U_{i_1}, x))$$

$$\psi(\gamma) = \gamma_1 \cdots \gamma_s \cdot e = b_{i_1}(\gamma_1) \cdots b_{i_s}(\gamma_s) = \psi(\gamma_1) \cdots \psi(\gamma_s).$$

l'écriture sur γ

Corollaire: Si $n \geq 2$, $\pi_1(S^n, \infty) = \{0\}$.

Démonstration: Écrivons $S^n = U_1 \cup U_2$ avec $U_1 = S^n \setminus N^1$ et $U_2 = S^n \setminus S^1$. Alors U_1 et U_2 sont homéomorphes à \mathbb{R}^n donc contractiles, et $U_1 \cap U_2$ est homéomorphe à $\mathbb{R} \times S^{n-1}$ et a donc le type d'homotopie de S^{n-1} .



Le théorème de Van Kampen montre alors que $\pi_1(S^n) = \pi_1(U_1) *_{\pi_1(U_1 \cap U_2)} \pi_1(U_2)$.

Ce groupe est engendré par l'elément neutre. C'est donc le groupe trivial !

2.4.3 Application aux variétés topologiques.

Théorème: Soit X une variété topologique compacte et $x \in X$.

Alors $\pi_1(X, x)$ est de présentation finie.

On va s'appuyer sur :

Lemma: Soient G et H des groupes. Supposons que H est un sous-groupe de G , au sens où il existe des applications de G vers H : $a: H \rightarrow G$ et $b: G \rightarrow H$ avec $b \circ a = \text{Id}_H$.

Alors, si G est de présentation finie, H aussi.

Preuve du lemme: Comme G est un groupe de permutations finie, on peut

écrire $G = L(\Sigma, R)$, $\sum_{\{z_i\}} R$ finis. Soit $p: L(\Sigma) \rightarrow G$ la surjection associée.

Comme $a \circ b \circ p(z_i) \in G$, il existe $w_i \in L(\Sigma)$ avec $p(w_i) = a \circ b \circ p(z_i)$.

Posons $K = L(\Sigma, R \cup \{z_i^{-1} w_i\})$. C'est un groupe de permutations finie.

La surjection naturelle $q: L(\Sigma) \rightarrow K$ factorise par $u: G \rightarrow K$ car $q(R) = \{0\}$.

$$\begin{aligned} \text{On calcule } b \circ p(w_i) &= b \circ a \circ b \circ p(z_i) \\ &= b \circ p(z_i) \end{aligned}$$

donc $b \circ p(z_i^{-1} w_i) = 0$. De plus $b \circ p(R) = 0$.

On déduit l'existence d'un morphisme de groupes $v: K \rightarrow H$

tel que $b = v \circ u$.

- $v \circ u \circ a = b \circ a = \text{Id}$.

- $u \circ a(b \circ p(z_i)) = u \circ p(w_i) = u \circ p(z_i)$ (par déf de K)

de sorte que $u \circ a$ est surjective.

Ces deux faits montrent que v est bijectif et l'inverse $u \circ a$.

Cela conclut !

$$\begin{array}{ccc} L(\Sigma) & & \\ \downarrow p & & \\ G & \xrightarrow{u} & K \\ \downarrow b & & \swarrow v \\ & & H \end{array}$$

Preuve du Th 1: On a vu dans la première partie du cours que

X est l'édifice d'un CW-complexe fini Y : $i: X \rightarrow Y$ et $n: Y \rightarrow X$ tel que $n \circ i = \text{Id}_X$.

Alors $\pi_1(X, x)$ est l'édifice de $\pi_1(Y, i(x))$ par faute d'ordre.

Une le lemme ci-dessus, on cauchet à l'aide de:

Th 2 Soit X un CW-complexe fini et $x \in X$.

Alors $\pi_1(X, x)$ est de présentation finie.

Preuve du Th 2: On peut supposer X connexe.

Étape 1: Cas où X est un bouquet de m cercles.

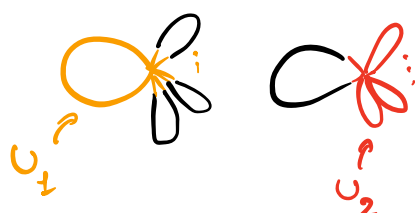


Pour chaînes de point base, on peut prendre pour x l'unique 0-cellule.

On montre par récurrence sur m que $\pi_1(X, x)$ est le groupe libré sur m générateurs.

- Pour $m=1$, c'est $\pi_1(S^1, x) = \mathbb{Z}$.

- Pour $m > 1$, on applique van Kampen avec U_1 un petit voisinage d'un des cercles et U_2 le petit voisinage du bouquet des $m-1$ autres cercles



$$\text{Alors } \pi_1(X, x) = \pi_1(U_1, x) *_{\pi_1(U_1 \cap U_2, x)} \pi_1(U_2, x)$$

$$= \mathbb{Z} * (\underbrace{\mathbb{Z} * \dots * \mathbb{Z}}_{m-1 \text{ copies}}).$$

Etape 2: Cas où X est de dimension 1.

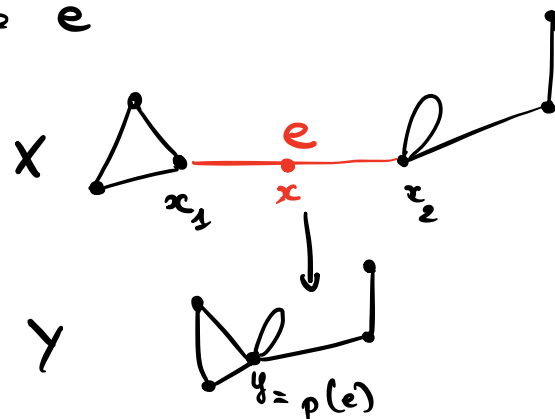
On laisse par récurrence sur le rang des 0-cellules de X .

S'il y en a une seule, c'est l'étape 1.

Finale, on peut trouver deux 0-cellules = somets de X (x_1 et x_2) reliées par une 1-cellule = arête e

Posons $\rho : X \rightarrow Y := X/e$.

Alors \bar{X} est un CW-complexe de dim 1 avec un somet et une arête en noir.



Pour conclure, il suffit de vérifier que ρ est une équivalence d'homotopie. On construit un inverse d'hautotope $q : Y \rightarrow X$

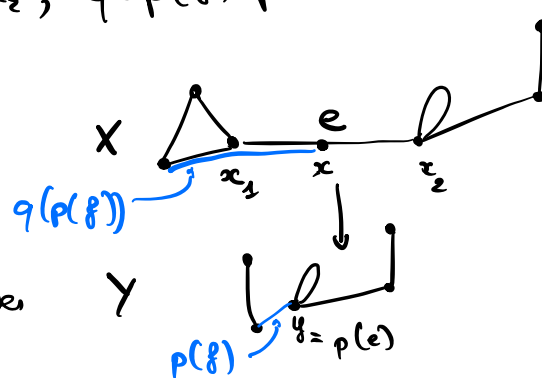
- $q(\rho(z)) = z$ si z n'est pas sur une arête dont une extrémité est x_1 ou x_2 .

- Pour $y = \rho(x_1) = \rho(x_2)$, $q(y) = x$ le milieu de l'arête e

- Si f arête joignant x_1 à $z \neq x_1, x_2$, $q \circ \rho(f)$ parcourt d'abord le segment $[x, x_1]$ puis l'arête f .

On fait un choix analogue si f joint x_1 à x_1 , ou x_1 à x_2 ...

Il faut vérifier que $p \circ q$ et $q \circ p$ sont homotopes à Id .



Etape 3: L'as générée par récurrence sur le rang de cellules, en partant d'un squelette (cf. Exo 3 du TD6).

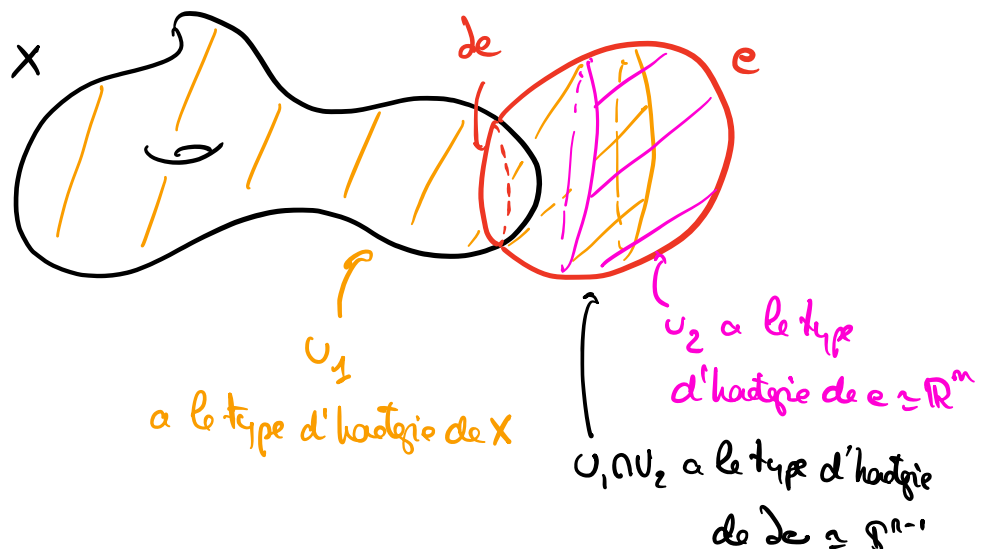
Plus précisément, Barth de Ven Kaupen montre que :

Ajouter une 2-cellule e via $f: \partial e \rightarrow X$ ajoute au résultat que

$$\pi_1(X \cup_f e) = \pi_1(X) *_{\pi_1(\partial e)} \pi_1(e) = \pi_1(X) *_{\mathbb{Z}} \mathbb{Z} = \pi_1(X) / \langle \langle \mathbb{Z} \rangle \rangle.$$

De même, ajoute une n -cellule e ($n > 3$) ne change pas le groupe fondamental car

$$\pi_1(X \cup_f e) = \pi_1(X) *_{\pi_1(\partial e)} \pi_1(e) = \pi_1(X) *_{\mathbb{Z}^n} \mathbb{Z}^n = \pi_1(X).$$



Construction de la preuve: Comme $\Sigma_g = \underbrace{\text{---}}_{g \text{ torus}}$ est homotope

au CW-complexe obtenu en scellant une 2-cellule sur le bouquet de $2g$ courbes $a_1, \dots, a_g, b_1, \dots, b_g$ via l'application d'attachement $a_1 b_1 a_1^{-1} b_1^{-1}, \dots, a_g b_g a_g^{-1} b_g^{-1}$,

$$\text{donc } \pi_1(\Sigma_g) = \langle a_1, \dots, a_g, b_1, \dots, b_g \mid [a_i, b_i] \cdots [a_g, b_g] = 1 \rangle$$

En particulier, si $g \neq g'$, Σ_g et $\Sigma_{g'}$ n'ont pas le même type d'homotopie car $\pi_1(\Sigma_g)^{\text{ab}} \cong \mathbb{Z}^{2g} \neq \mathbb{Z}^{2g'} \cong \pi_1(\Sigma_{g'})^{\text{ab}}$. (voir Exo 4 de TD6 pour plus de détails)

Commentaire culturel :

- Tous groupes de présentation finie ont π_1 d'un CW-complexe fini.
 (prendre une 0-cellule
 une 1-cellule par générateur cf Exo 3 de TD6
 une 2-cellule par relation)
- Tous groupes de présentation finie ont π_1 d'une variété topologique compacte de dimension 4
 (pour ajouter un générateur, faire une boule couverte avec $S^1 \times S^3$
 pour supprimer une relation, représenter l'élément de π_1 qu'on souhaite bannir par un bout flanqué $S^1 \hookrightarrow X$ et renforcer un voisinage tubulaire $S^1 \times D^3$ de ce bout par une copie de $D^2 \times S^2$ à l'aide de l'isomorphisme $\partial(S^1 \times D^3) = S^1 \times S^2 = \partial(D^2 \times S^2)$.)
- En revanche, tous les groupes de présentation finie ne sont pas des π_1 de variétés compactes de dim. 3. $\pi_1(S^3) = \langle 0 \rangle$, $\pi_1(S^1 \times S^2) = \mathbb{Z}$ et $\pi_1((S^1)^3) = \mathbb{Z}^3$, mais on ne peut réaliser celui \mathbb{Z}^m pour $m=2$ ou $m \geq 4$!

Pour ailleurs, le π_1 d'une variété compacte de dim 3 le détermine presque toujours, avec peu d'exceptions. Par exemple :

Th(Conjecture de Tschirnhaus, Poincaré 2002) :

X variété compacte connexe de dim. 3 avec $\pi_1(X) \cong \mathbb{Z}^3$.

Alors X plonge dans \mathbb{S}^3 .